

# Μηχανική Συμπεριφορά Εδαφών σε (υπο)κατηγορίες φορτίσεων

**Ξεκινάμε από:**  
**Μονοδιάστατη (1D) Συμπίεση**

# Περιεχόμενα παρουσίασης

- Συχνές κατηγορίες φορτίσεων & είδη εργαστηριακών δοκιμών

ΕΙΣΑΓΩΓΙΚΗ ΕΝΟΤΗΤΑ

- Μονοδιάστατη (1D) **συμπίεση** (πιο γενικά: **παραμόρφωση**) **Προσοχή:** εστιάζουμε μόνο στην τελική τιμή της παραμόρφωσης (η εξέλιξή της στον χρόνο όταν αργεί το νερό να φύγει είναι αντικείμενο της Εδαφομηχανικής II)

- 1D συμπίεση, σύνδεση με προηγούμενα

ΕΝΟΤΗΤΑ 1

- Πότε θα έχω στην πράξη 1D συμπίεση;
- Ποιος ο πρακτικός σκοπός να εξετάζω παραμόρφωση γενικά (δηλ. και φόρτιση και αποφόρτιση);
- Όταν συμπιέζεται το έδαφος, τι αλλάζει;

- Εξοικείωση με αποτελέσματα δοκιμής **συμπιεσομέτρου**

ΕΝΟΤΗΤΑ 2

- Υπολογισμός καθίζησης με βάση (α) εργαστηριακές καμπύλες ή (β) προσαρμογή των εργαστηριακών καμπυλών
- Παράδειγμα υπολογισμού

# Πώς ξεκινάμε τη μελέτη της Εδαφομηχανικής

- Όπως και στη Μηχανική, στην αρχή εστιάζουμε σε επιλεγμένα επί μέρους επιλύσιμα προβλήματα (πχ, στη Μηχανική: κάμψη, στρέψη)
- Όπως είπαμε, το έδαφος συμπεριφέρεται γραμμικώς ελαστικά για μικρό μόνο εύρος παραμορφώσεων, γι' αυτό συχνά δεν μπορούμε να δουλέψουμε με τις γνωστές ελαστικές παραμέτρους (δηλ.  $E$ ,  $v$ )
- Ρωτάμε, λοιπόν, ποιες είναι οι παράμετροι που περιγράφουν τη συμπεριφορά του εδάφους στα επιλεγμένα προβλήματα και με ποιες εξειδικευμένες πειραματικές δοκιμές μπορώ να προσδιορίσω αυτές τις παραμέτρους;

# Μελέτη εδάφους με εργαστηριακές δοκιμές

- Για να προσαρμόσουμε τη μελέτη μας καλύτερα στη συμπεριφορά του εδάφους, χρησιμοποιούμε δοκιμές που προσομοιάζουν διαφορετικούς τύπους εντατικών καταστάσεων συχνών σε γεωτεχνικά προβλήματα
- Αυτές είναι:
  - δοκιμή συμπιεσομέτρου: 1D συμπίεση, επιβάλλουμε  $\sigma_1$  και αναπτύσσονται γνωστές  $\sigma_2 = \sigma_3$ ,  $\sigma_3 = \sigma_3(\sigma_1)$
  - δοκιμή ισότροπης συμπίεσης:  $\sigma_1 = \sigma_2 = \sigma_3$
  - δοκιμή απ' ευθείας διάτμησης: επιβάλλουμε  $\tau, \sigma$  σε επίπεδο, άγνωστες  $\sigma_1, \sigma_2, \sigma_3$
  - τριαξονική δοκιμή: επιβάλλουμε ολόπλευρη πίεση και στη συνέχεια αυξάνουμε την κατακόρυφη τάση,  $\sigma_1 \neq \sigma_2 = \sigma_3$

# Συνήθεις εργαστηριακές δοκιμές της Γεωτεχνικής Μηχανικής: τάσεις & παραμορφώσεις

Ισότροπη συμπίεση

1D συμπίεση  
(μηδενική πλευρική παραμόρφωση\*)

Τριαξονική συμπίεση

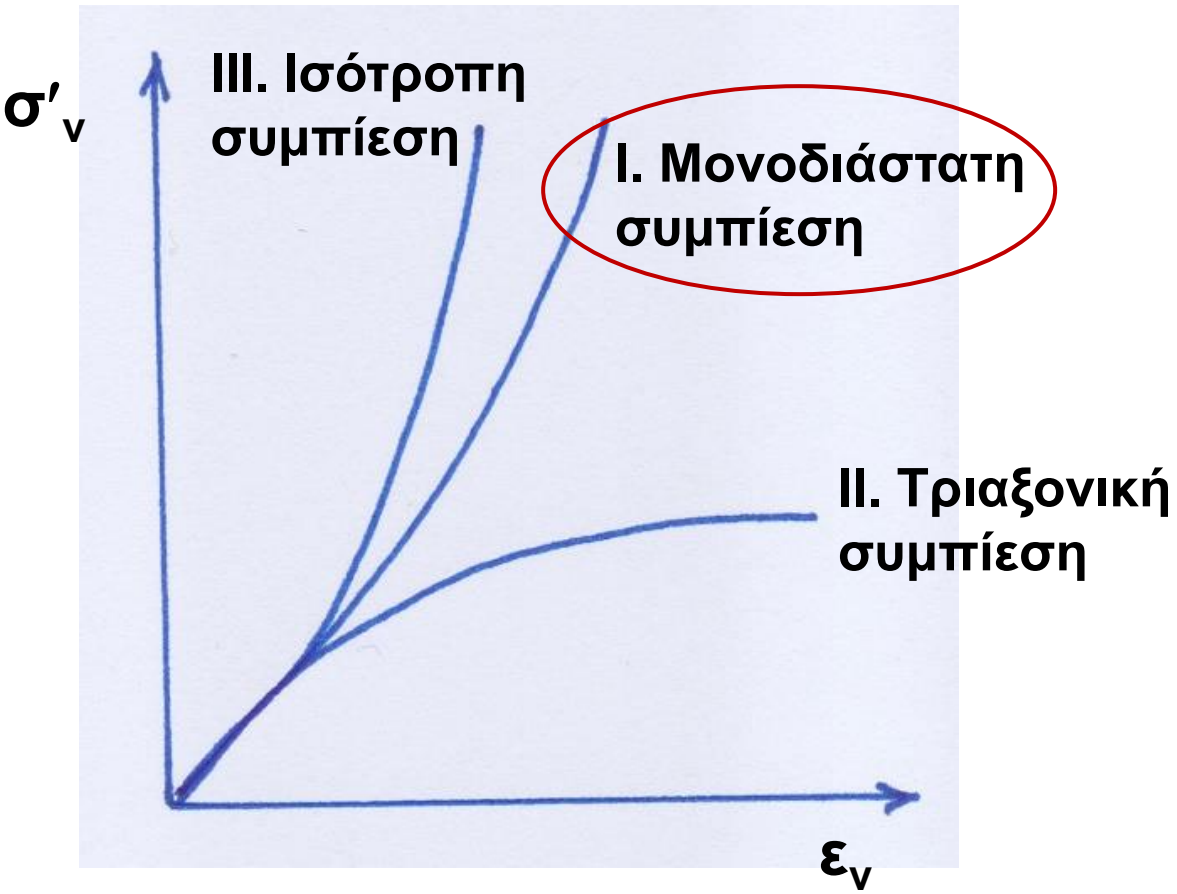
Απ' ευθείας διάτμηση

Test	Isotropic compression	Confined compression (oedometer)	Triaxial compression	Direct shear
Basic conditions	<p><math>\sigma_1 = \sigma_3</math></p>	<p>No horizontal movement</p>	<p><math>\sigma_c</math> <math>\sigma_c</math> constant as <math>\Delta\sigma_a</math> applied</p>	<p><math>N</math> <math>T</math> <math>N</math> constant as <math>T</math> applied</p>
Type of deformation	Volumetric	Primarily volumetric but some distortion	Distortion and volumetric	Primarily distortion, but some volumetric

\*μηδενική πλευρική ώθηση γαιών = πλήρης πλευρική υποστήριξη (δηλ. ότι ισχύει και στην ουδέτερη ώθηση γαιών)

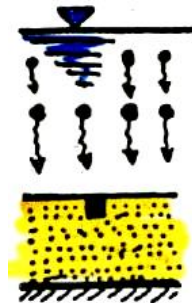
# Σχέσεις τάσης-παραμόρφωσης στο έδαφος για συνήθεις κατηγορίες φορτίσεων

Γιατί η  
ισότροπη  
συμπίεση  
είναι  
«καλύτερη»  
από τη  
μονοδιάστατη;

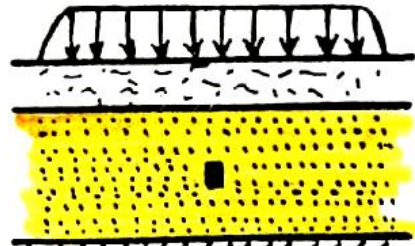
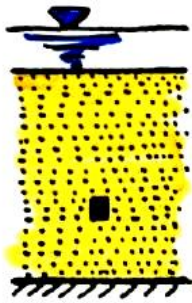


# Μονοδιάστατη παραμόρφωση & ειδική περίπτωση: μονοδιάστατη συμπίεση

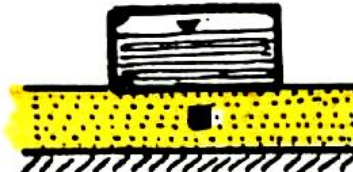
- Πότε έχω στην πράξη μονοδιάστατη συμπίεση;



Σχηματισμός εδαφικής αποθέσεως



Ομοιόμορφη επιφόρμων μεγάλης έυστασης



Θερμεύωση επί αναθούρ εδαφικού στρώματος επί βράχου

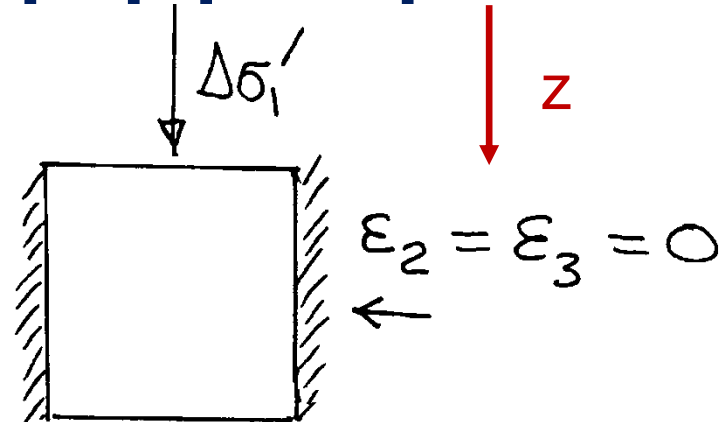
- Τι άλλου είδους παραμόρφωση μπορεί να έχω;
  - Ανύψωση σε περίπτωση αποφόρτισης
- Για ποιες πρακτικές εφαρμογές ενδιαφέρει τι κάνει το έδαφος αν αποφορτιστεί;
  - αποφόρτιση σε γεωλογικό χρόνο (πχ λιώσιμο παγετώνων) – επαναφόρτιση στο χρονικό πλαίσιο του έργου
  - φόρτιση, αποφόρτιση και επαναφόρτιση στο χρονικό πλαίσιο του έργου

# Μονοδιάστατη παραμόρφωση

- Όπως έχουμε δει

$$\Delta \varepsilon_x = \Delta \varepsilon_y = \Delta \gamma_{xy} = \Delta \gamma_{yz} = \Delta \gamma_{xz} = 0$$

$$\Delta \varepsilon_z = \frac{1}{D} \Delta \sigma'_z \quad \text{όπου} \quad D = \frac{E(1-\nu)}{(1+\nu)(1-2\nu)}$$



μέτρο μονοδιάστατης  
παραμόρφωσης  
(συμπίεσης)

$$\Delta \sigma'_x = \Delta \sigma'_y = \frac{\nu}{1-\nu} \Delta \sigma'_z$$

Συντελεστής ουδέτερης ώθησης γιαών ή λόγος  
τάσεων σε μονοδιάστατη παραμόρφωση

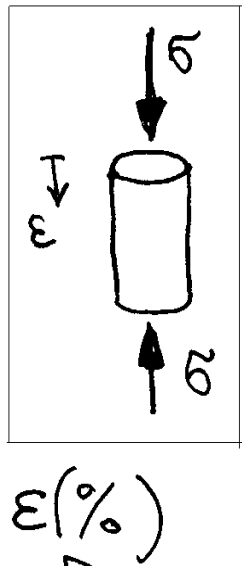
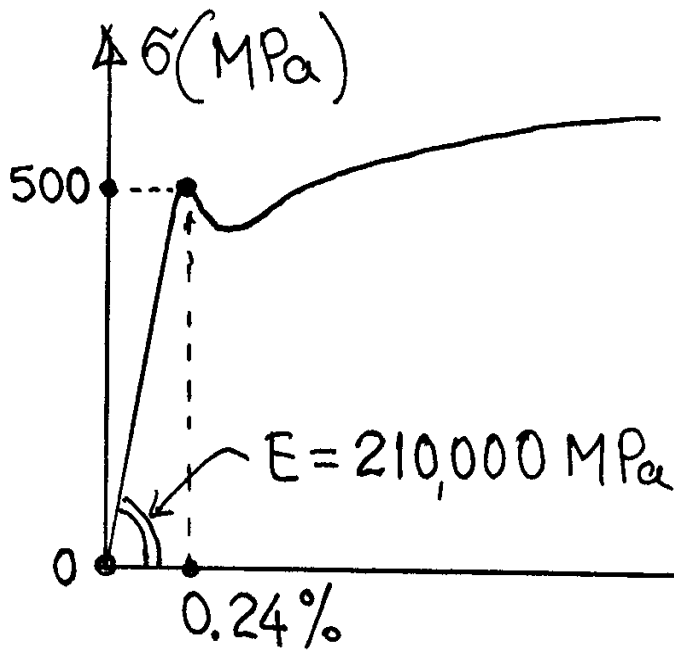
$$K_o \equiv \frac{\Delta \sigma'_h}{\Delta \sigma'_v} = \frac{\Delta \sigma'_x}{\Delta \sigma'_z}$$

Για γραμμική ισότροπη ελαστικότητα:

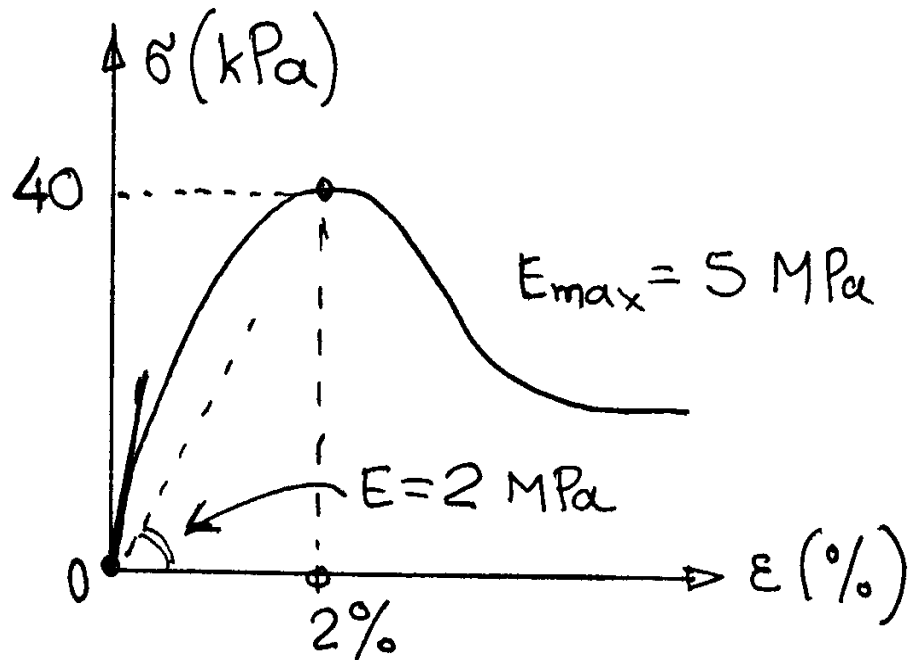
$$K_o = \frac{\nu}{1-\nu}$$

# Φλας μπακ 14/2/2023: συγκρίναμε χάλυβα - έδαφος

Χάλυβας St IV



Άργιλος μέσης αντοχής



Χάλυβας: πρακτικώς  
γραμμική συμπεριφορά έως  
το όριο διαρροής

(Πηγή: Διαφάνειες Μ. Καββαδά)

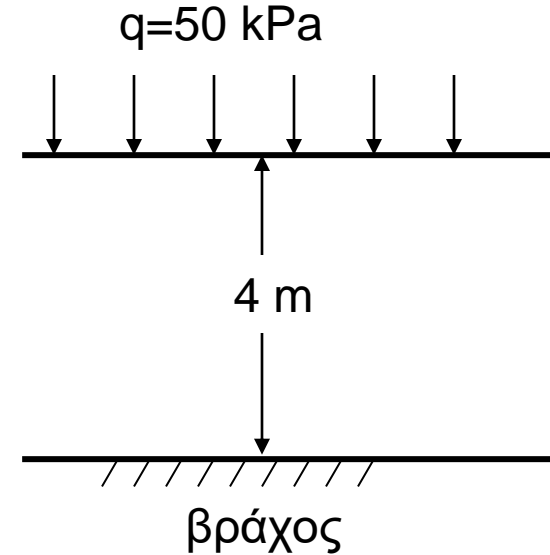
# Μονοδιάστατη παραμόρφωση, εφαρμογή

- Ας κάνουμε μια απόπειρα να βρούμε την καθίζηση  $s$  στρώματος πάχους  $H=4m$ , για τις δύο τιμές του μέτρου ελαστικότητας  $E$  που είδαμε στο εισαγωγικό μάθημα, αρχικό  $E = 5MPa$ , τέμνον  $E = 2MPa$ , και  $\nu=1/3$

$$D = \frac{E(1-\nu)}{(1+\nu)(1-2\nu)}$$

- Βρίσκω  $D = 7.5MPa$  και  $D = 3MPa$
- Βρίσκω καθίζηση  $s=\Delta\varepsilon_z H$ , για  $\Delta\sigma'_z=50KPa$

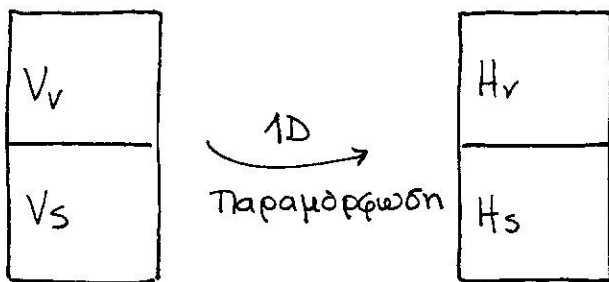
$$\Delta\varepsilon_z = \frac{1}{D} \Delta\sigma'_z$$



- $s=\Delta\varepsilon_z H \rightarrow s=\Delta\sigma'_z H/D \rightarrow$  για  $D = 7500 \text{ kPa}$ ,  $s = 50 \times 4 / 7500 = 0.027 \text{ m}$  και για  $D = 3000 \text{ kPa}$ ,  $s = 50 \times 4 / 3000 = 0.067 \text{ m}$
- Ποια τιμή από τις δύο θα διαλέξω; Καλύτερα καμία (γιατί;). Θα πρέπει να έχω αποτελέσματα από δοκιμές συμπιεσομέτρου (διαφάνεια 14) και από αυτά να βρω την καθίζηση.

# Όταν συμπιέζεται το έδαφος, τι αλλάζει; Ο όγκος των πόρων

Σε 1D συμπίεση...

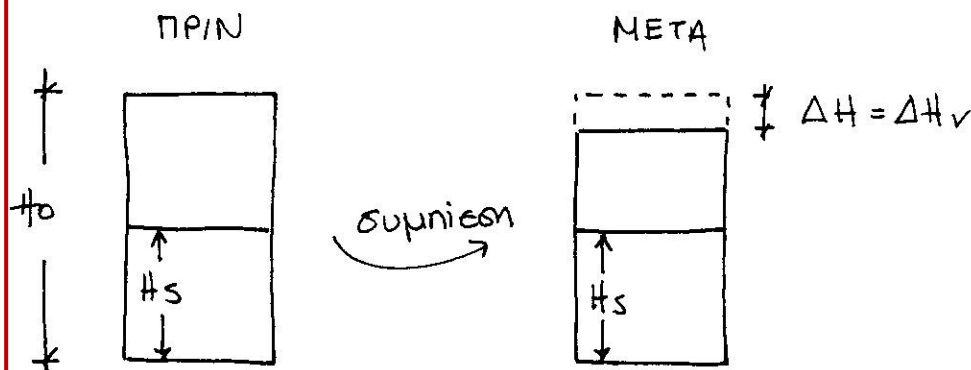


$$e_o = \frac{V_v}{V_s} = \frac{H_v}{H_s} \rightarrow H_v = e \cdot H_s$$

$$\rightarrow \Delta H_v = \Delta e \cdot H_s \rightarrow \Delta H = \Delta e \cdot H_s$$

$$e_o = \frac{H_v}{H_s} = \frac{H_o - H_s}{H_s}$$

$$\rightarrow H_o = H_s \cdot (1 + e_o)$$

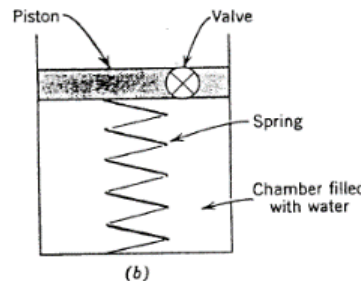
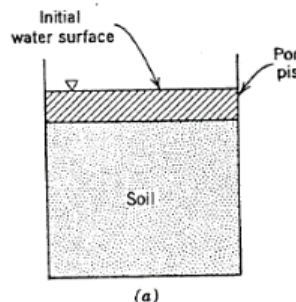


$$\varepsilon_z = -\frac{\Delta H}{H_o} = -\frac{\Delta e}{1 + e_o}$$

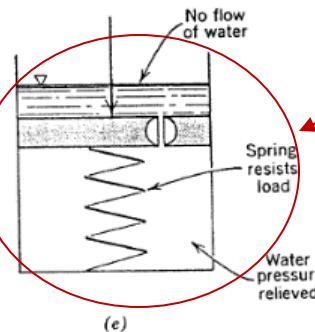
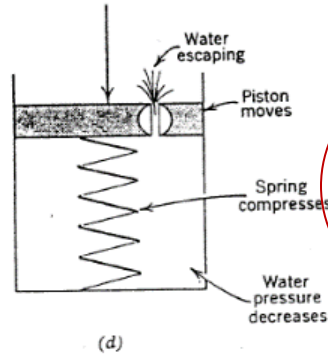
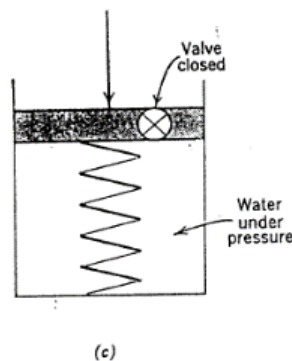
...η κατακόρυφη παραμόρφωση  $\varepsilon_z$  εκφράζεται ως συνάρτηση της αλλαγής του δείκτη πόρων,  $\Delta e$

# Να μην ξεχάσω την αναλογία κορεσμένου εδάφους– ελατηρίου+πιστονιού

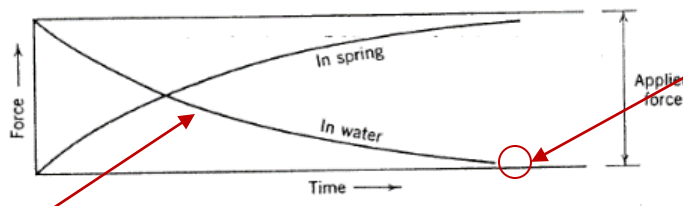
- Τι πρέπει να γίνει για να μπορέσει να αλλάξει ο όγκος των πόρων;



- Να φύγει το νερό



Όταν η καθίζηση ολοκληρωθεί:  
 $\Delta u = 0$

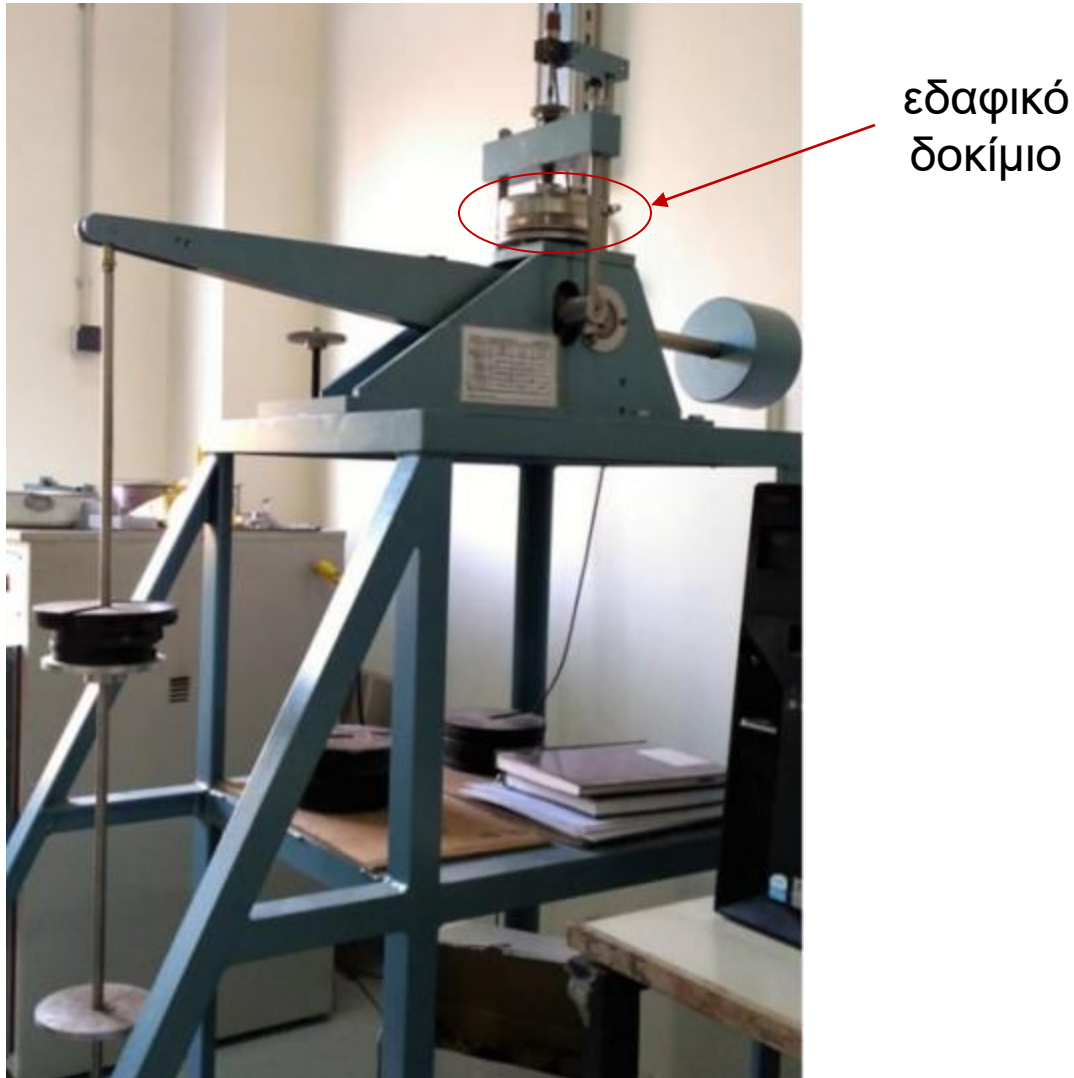


$$\Delta u(t) \neq 0$$

# Συμπίεση κορεσμένου εδάφους

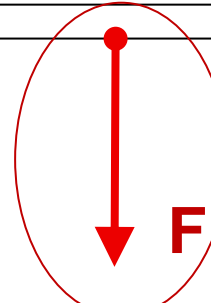
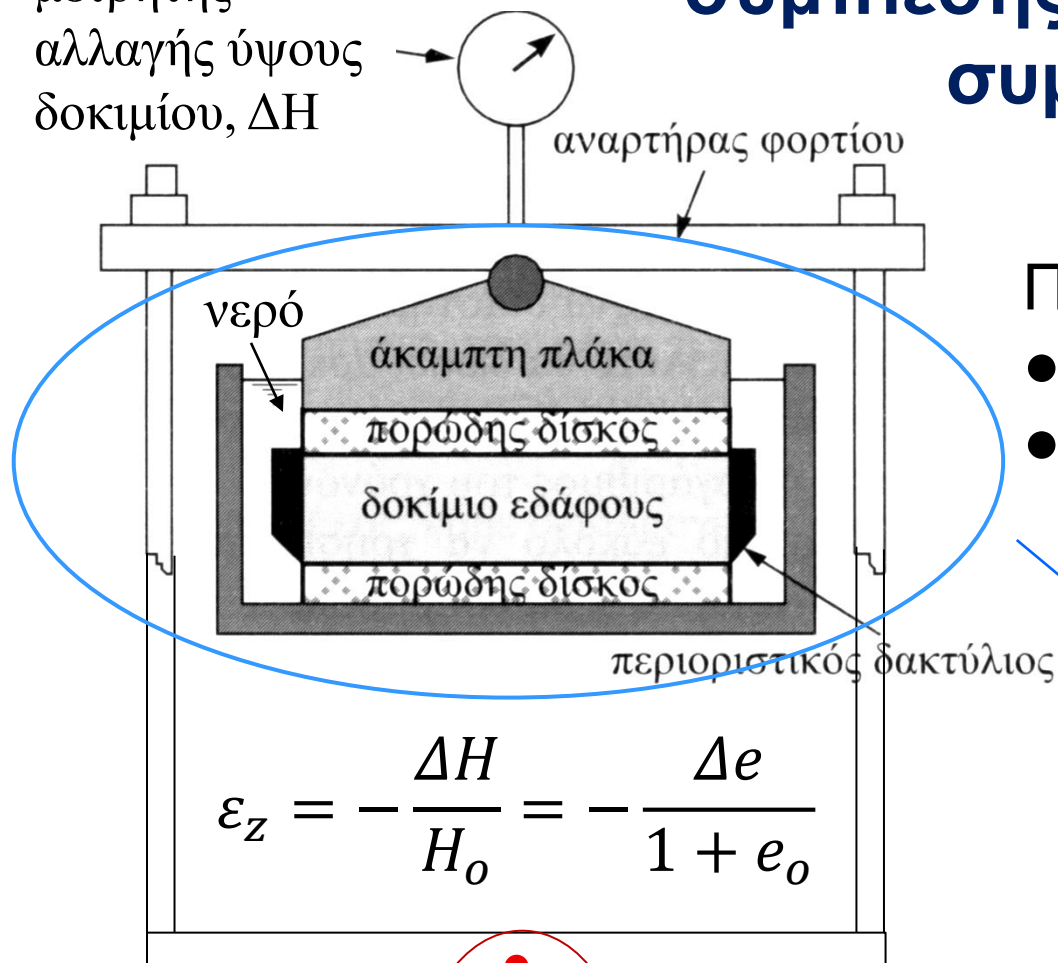
- Αν το έδαφος είναι κορεσμένο, τι πρέπει να γίνει για να μπορέσει να αλλάξει ο όγκος των πόρων; Να φύγει νερό.
- Θυμάμαι ότι η πίεση των πόρων θα αλλάξει με τη φόρτιση, δηλ.  $\Delta u \neq 0$ . Σε κάθε χρονική στιγμή  $t$ ,  $\Delta \sigma' + \Delta u = \Delta \sigma$ . Όμως, αφού φύγει όσο νερό ήθελε να φύγει, η πίεση των πόρων θα ξαναγυρίσει στην αρχική τιμή της, δηλ. τότε  $\Delta u = 0$ , και το έδαφος θα έχει πάρει την τελική του συμπίεση (ή καθίζηση).
- **Αυτήν την τελική τιμή της συμπίεσης, όταν  $\Delta u = 0$  και, άρα,  $\Delta \sigma' = \Delta \sigma$ , θα μάθουμε να υπολογίζουμε σε αυτήν την ενότητα** κι έτσι δεν θα ασχοληθούμε με το πόσο εύκολα μπορεί το έδαφος να στραγγίσει, δηλ. δεν έχει διαφορά αν το έδαφος είναι άμμος, που στραγγίζει αμέσως, ή άργιλος, που αργεί να στραγγίσει. Στην Εδαφομηχανική II θα μάθουμε πόσος χρόνος θα χρειαστεί για να φύγει το νερό από μια άργιλο, ή να στερεοποιηθεί η άργιλος, όπως λέμε στη Γεωτεχνική Μηχανική, και να αναπτυχθεί η πλήρης καθίζηση.

## Συμπίεση κορεσμένου εδάφους → Συμπιεσόμετρο



αναλογικός  
μετρητής  
αλλαγής ύψους  
δοκιμίου,  $\Delta H$

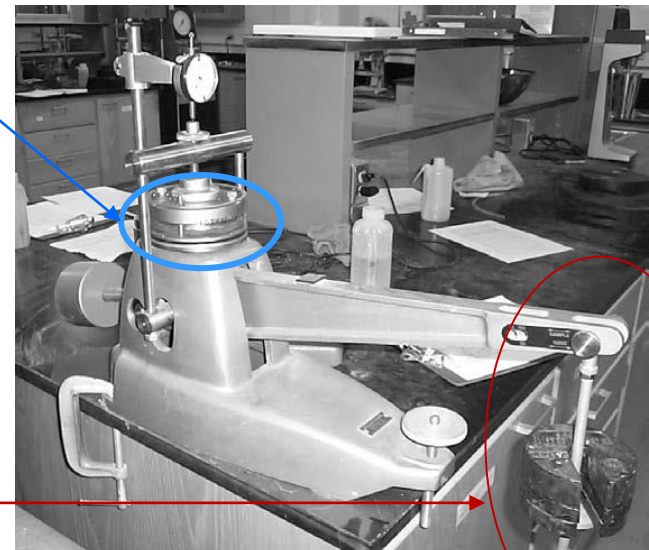
# Πειραματική διάταξη μονοδιάστατης συμπίεσης – παραμόρφωσης: συμπιεσόμετρο



Ανάγουμε δύναμη  $F$   
στην επιφάνεια του  
δοκύμιου  $\rightarrow \sigma_z$

Πειραματικά δεδομένα:

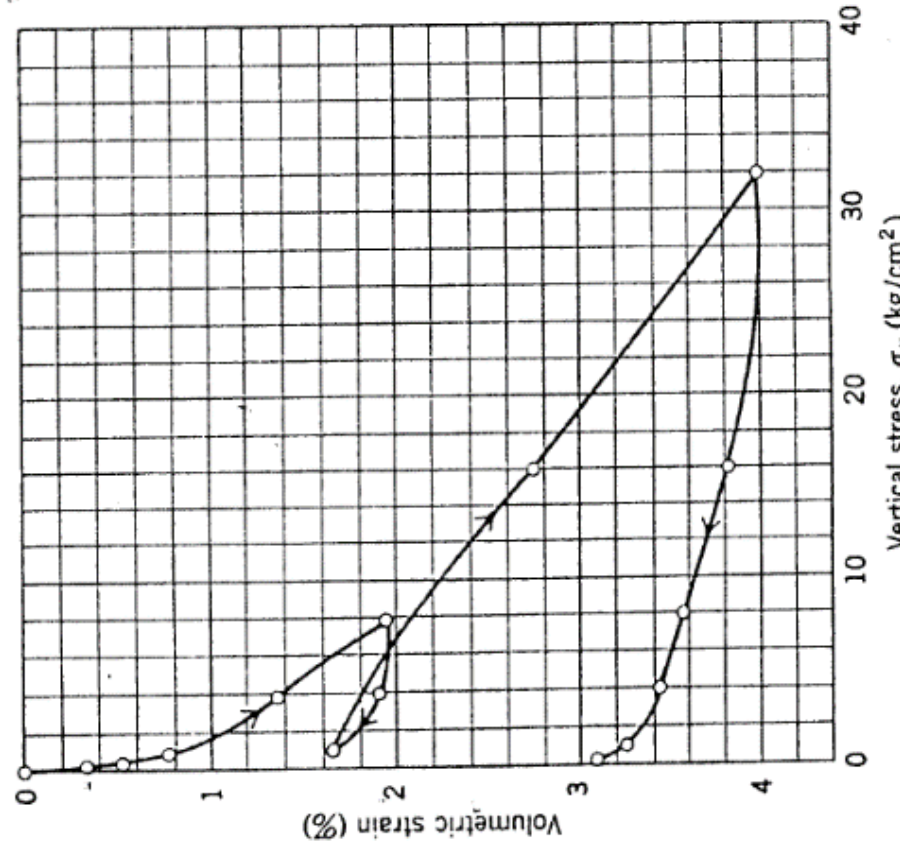
- σε διαδοχικές  $\sigma'_z$ ,  $\varepsilon_z$  ( $\sigma'_z$ )
- για κάθε  $\sigma'_z$ ,  $\varepsilon_z$  ( $t$ ),  $t_{max}=1d$



# Αποτελέσματα δοκιμής συμπιεσομέτρου σε άμμο

σε οικείο  
προσανατολισμό  
αξόνων

κατακόρυφη  
ενεργός τάση  
 $\sigma'_z$



ογκομετρική ( $\varepsilon_{vol}$ ) = κατακόρυφη ( $\varepsilon_z$ )  
παραμόρφωση

# Αποτελέσματα δοκιμής συμπιεσομέτρου σε άμμο

## Σχόλια για τους άξονες:

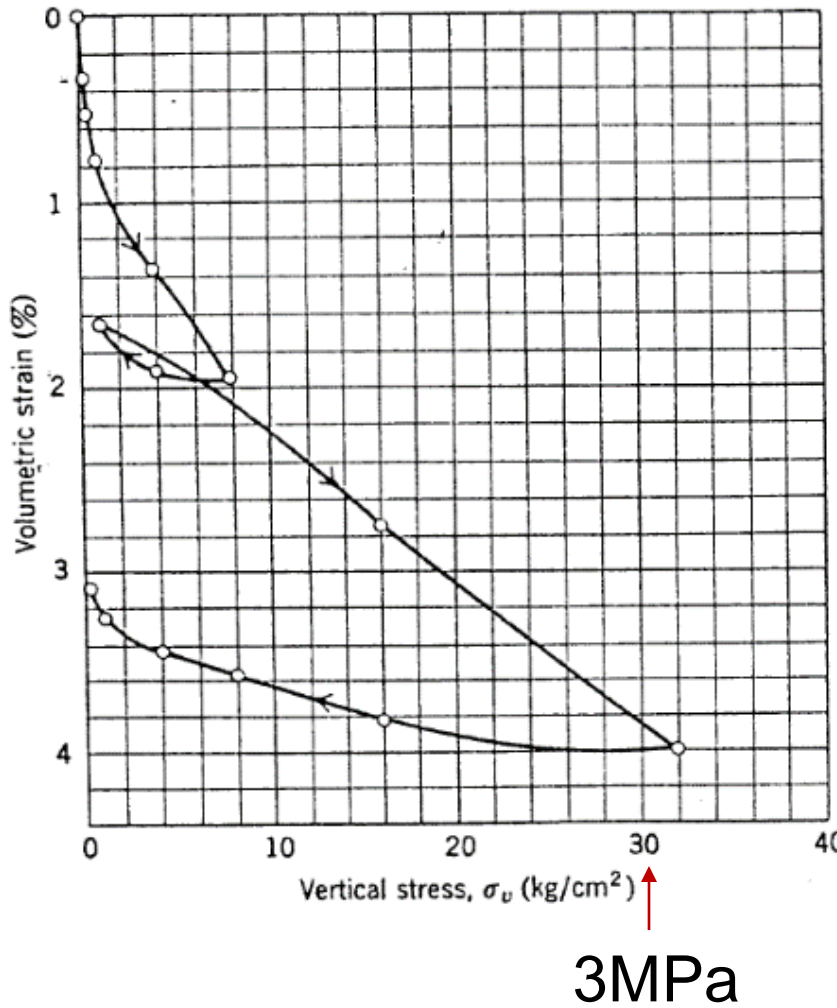
- (α) οι συνήθεις άξονες για δοκιμές 1D συμπίεσης διαφέρουν από τους συνήθεις άξονες τάσεων (κατακόρυφο) – παραμορφώσεων (οριζόντιο)  
β) Σε 1D,  $\varepsilon_{vol} = \varepsilon_z$

## Σημείωση για τις μονάδες:

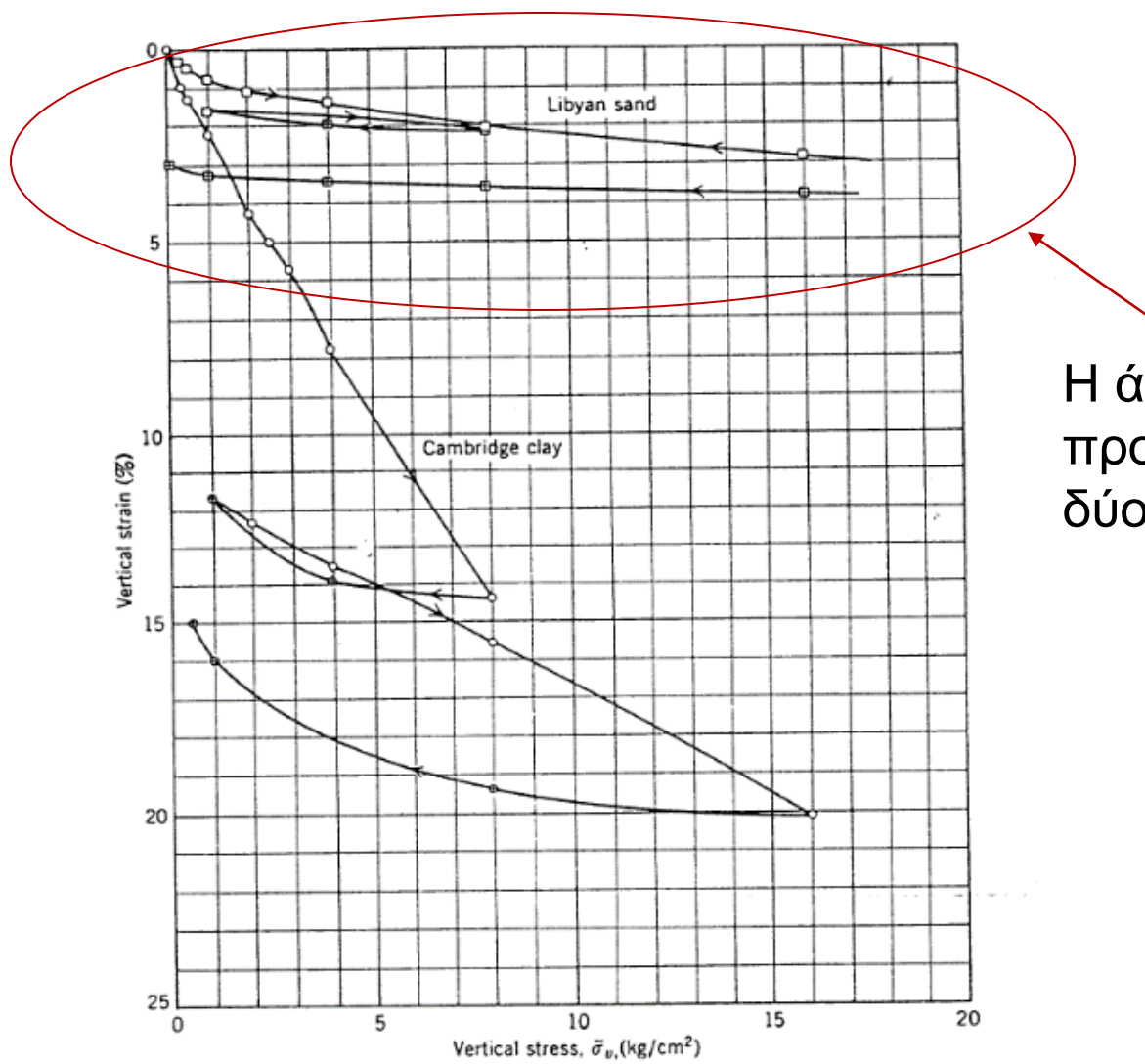
Η μονάδα (kg) αναφέρεται σε (kg) βάρους,  $1 \text{ kg/cm}^2 = 100 \text{kN/m}^2$

## Σχόλιο για τη δοκιμή:

Η συγκεκριμένη δοκιμή φτάνει σε πάρα πολύ υψηλές τάσεις

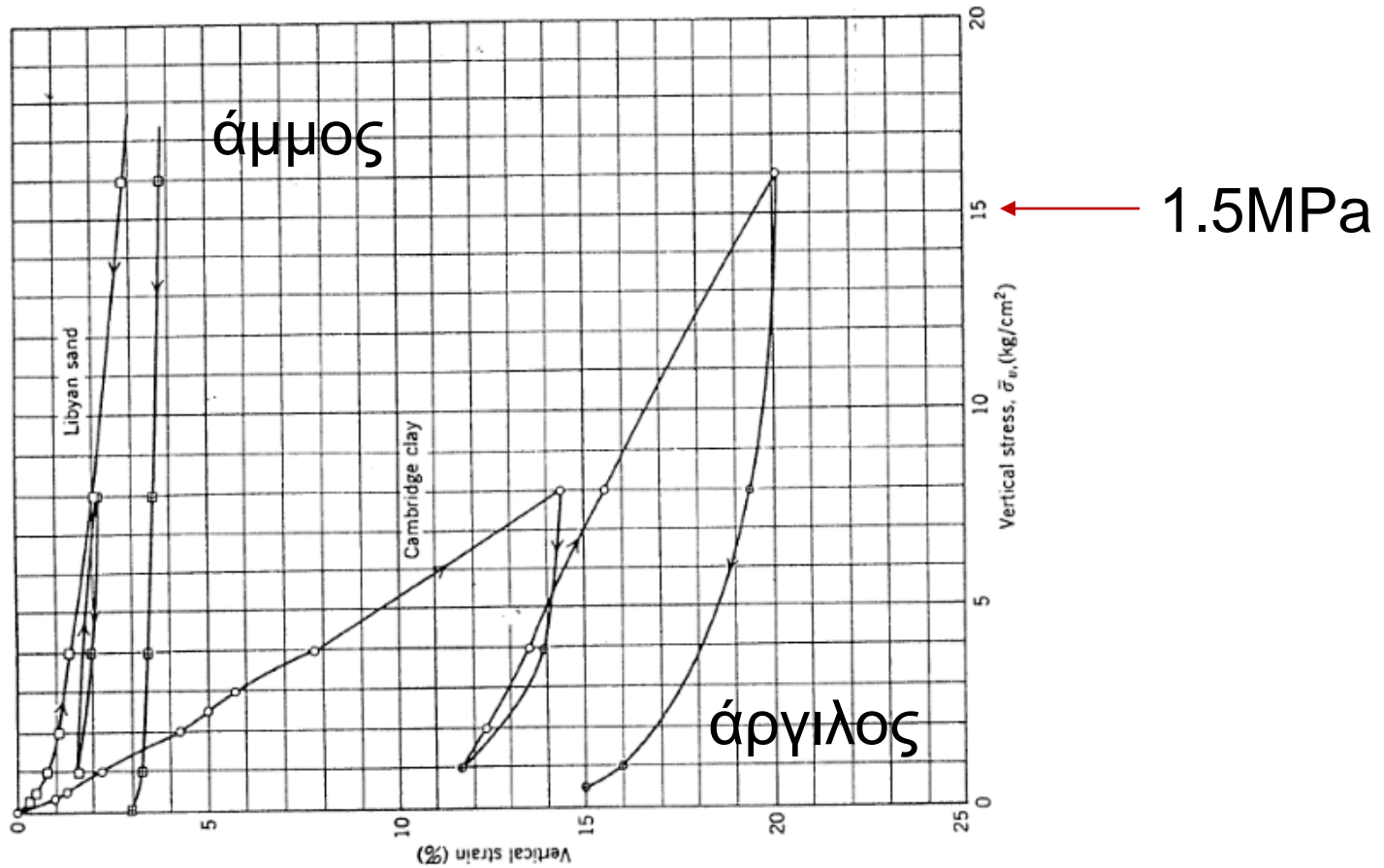


# Αποτελέσματα δοκιμής συμπιεσομέτρου σε άμμο & σε άργιλο



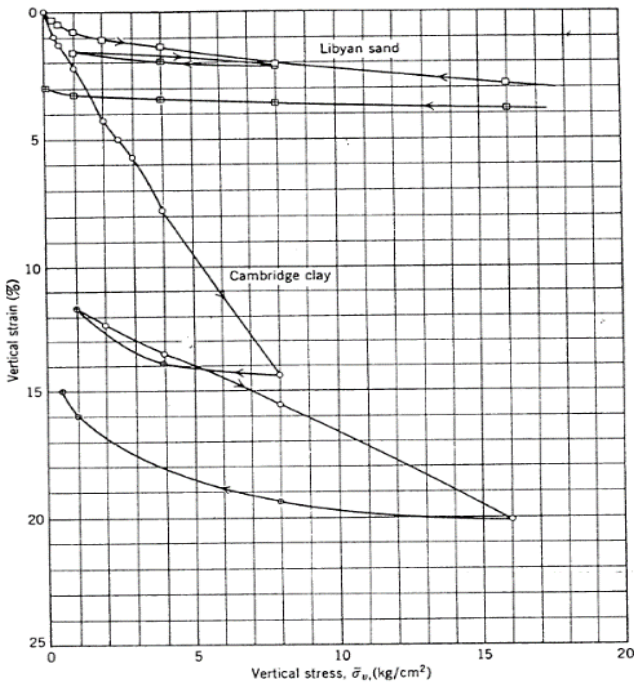
Η άμμος των προηγούμενων δύο διαφανειών

# Αποτελέσματα δοκιμής συμπιεσομέτρου σε άμμο & σε άργιλο

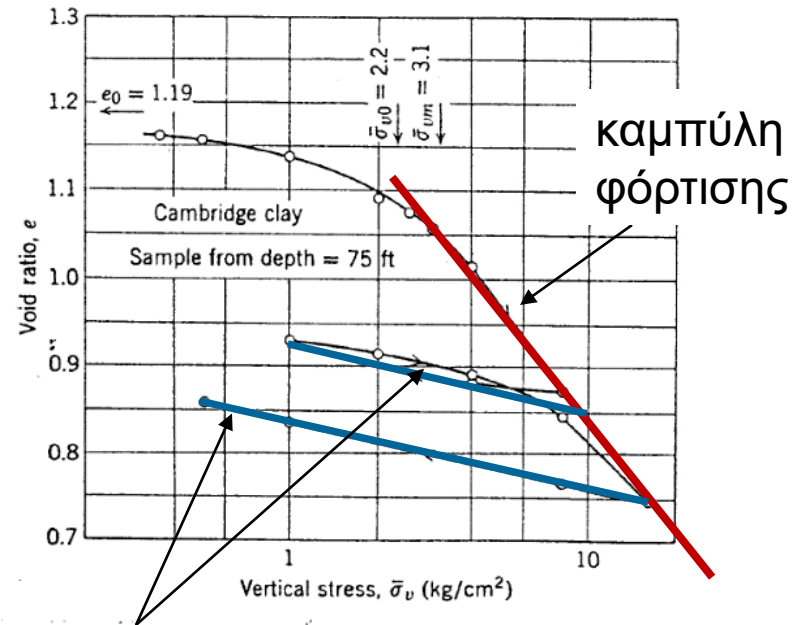


μια τελευταία φορά στον πιο οικείο προσανατολισμό αξόνων...

# Αποτελέσματα δοκιμής συμπιεσομέτρου σε άργιλο: διαφορετικοί άξονες για την τάση



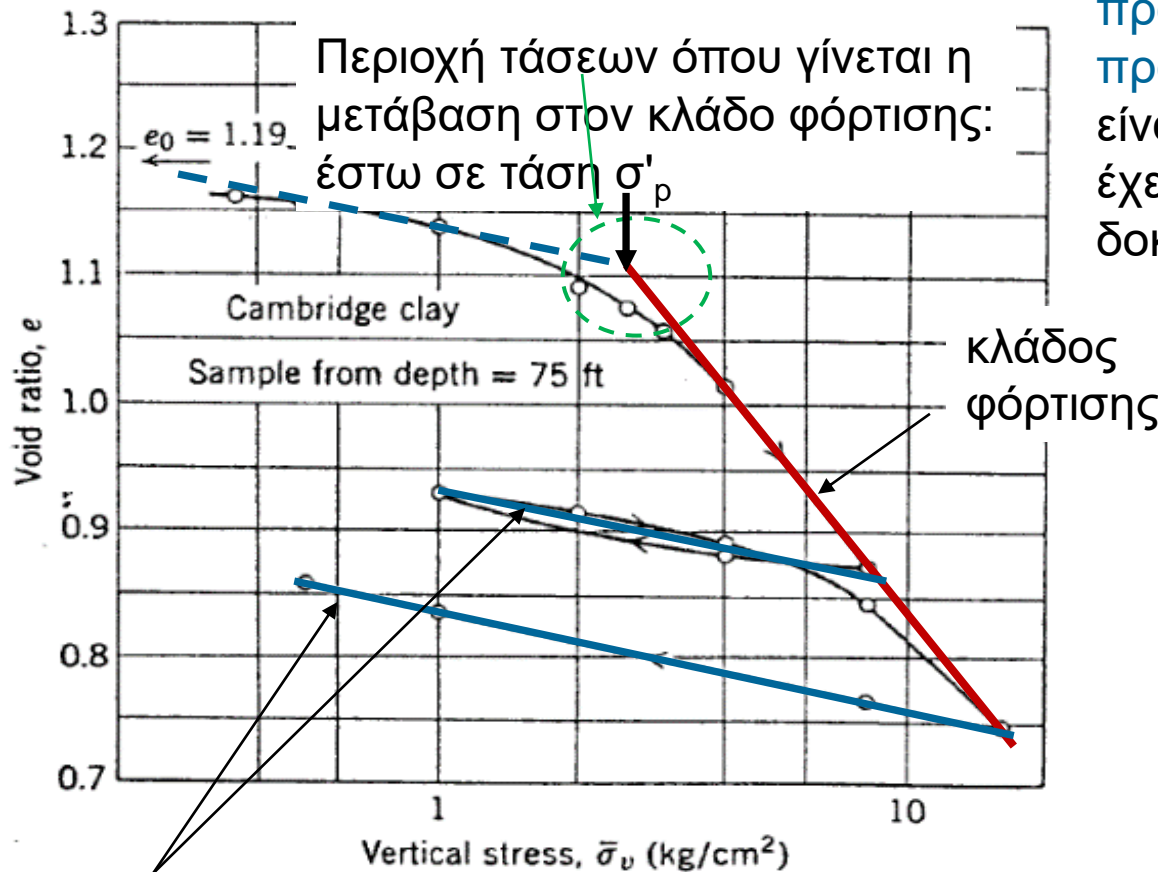
**Άξονες:** κατακόρυφη παραμόρφωση (ισοδύναμα: δείκτης πόρων) – **κατακόρυφη ενεργός τάση**



καμπύλες αποφόρτισης - επαναφόρτισης

**Άξονες:** δείκτης πόρων – λογάριθμος κατακόρυφης ενεργού τάσης

# Τι μαθαίνουμε από τα αποτελέσματα του συμπιεσομέτρου για την ιστορία της αργίλου

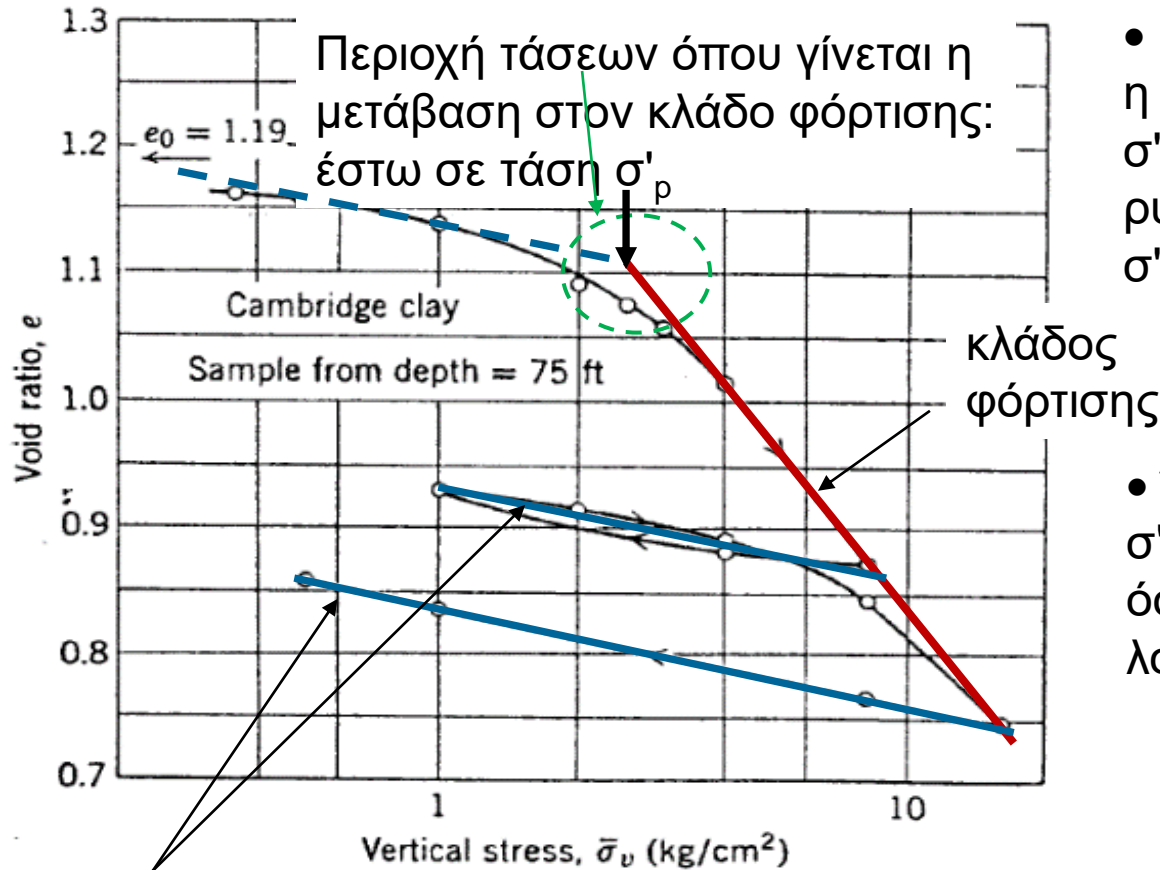


- Η τάση  $\sigma'_p$  λέγεται **τάση προφόρτισης** ή **τάση προστερεοποίησης** και είναι η μέγιστη τάση που έχει επιβληθεί στο δοκίμιο στο παρελθόν
- Αν  $\sigma'_p = \sigma'_{vo}$ , όπου  $\sigma'_{vo}$  είναι η γεωστατική τάση στο σημείο που έχει ληφθεί το δοκίμιο, τότε η άργιλος λέγεται κανονικά στερεοποιημένη, normally consolidated (NC)

κλάδοι αποφόρτισης - επαναφόρτισης

- Αν  $\sigma'_p > \sigma'_{vo}$ , τότε η άργιλος λέγεται προφορτισμένη ή υπερστερεοποιημένη, overconsolidated (OC), και ορίζουμε τον λόγο υπερστερεοποίησης,  $OCR = \sigma'_p / \sigma'_{vo}$

# Προφορτισμένες άργιλοι – λόγος $K_o$



- Κατά την αποφόρτιση, η οριζόντια ορθή τάση  $\sigma'_h$  μειώνεται αλλά με ρυθμό βραδύτερο της  $\sigma'_v$

- Έτσι ο λόγος  $K_o = \sigma'_h / \sigma'_v$  μεγαλώνει, όσο μεγαλώνει ο λόγος OCR

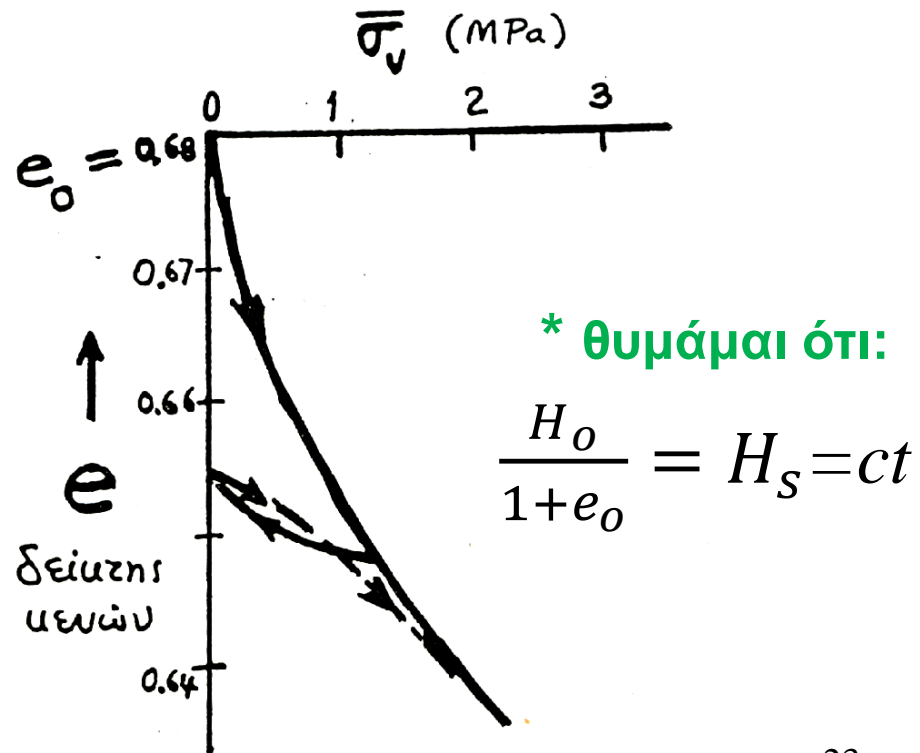
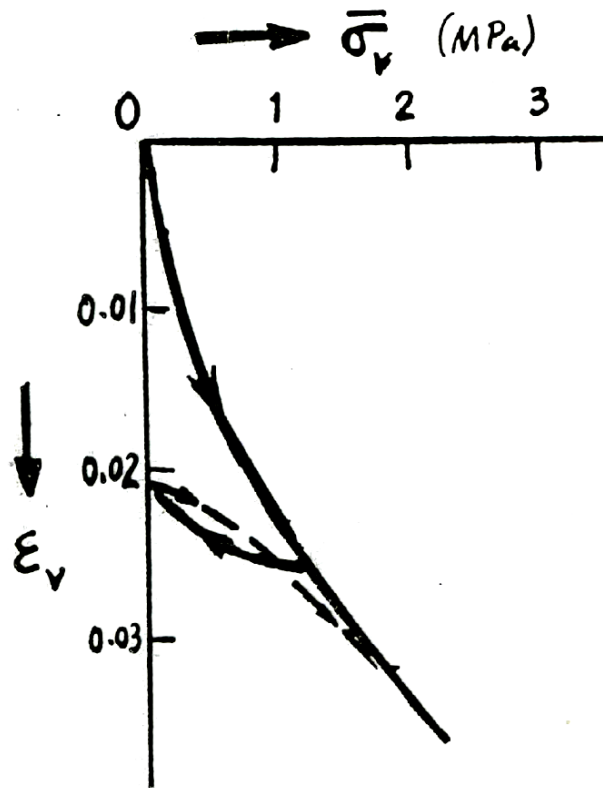
κλάδοι αποφόρτισης - επαναφόρτισης

- Άν  $\sigma'_p > \sigma'_{vo}$ , τότε η άργιλος λέγεται προφορτισμένη ή υπερστερεοποιημένη, overconsolidated (OC), και ορίζουμε τον λόγο υπερστερεοποίησης,  $OCR = \sigma'_p / \sigma'_{vo}$

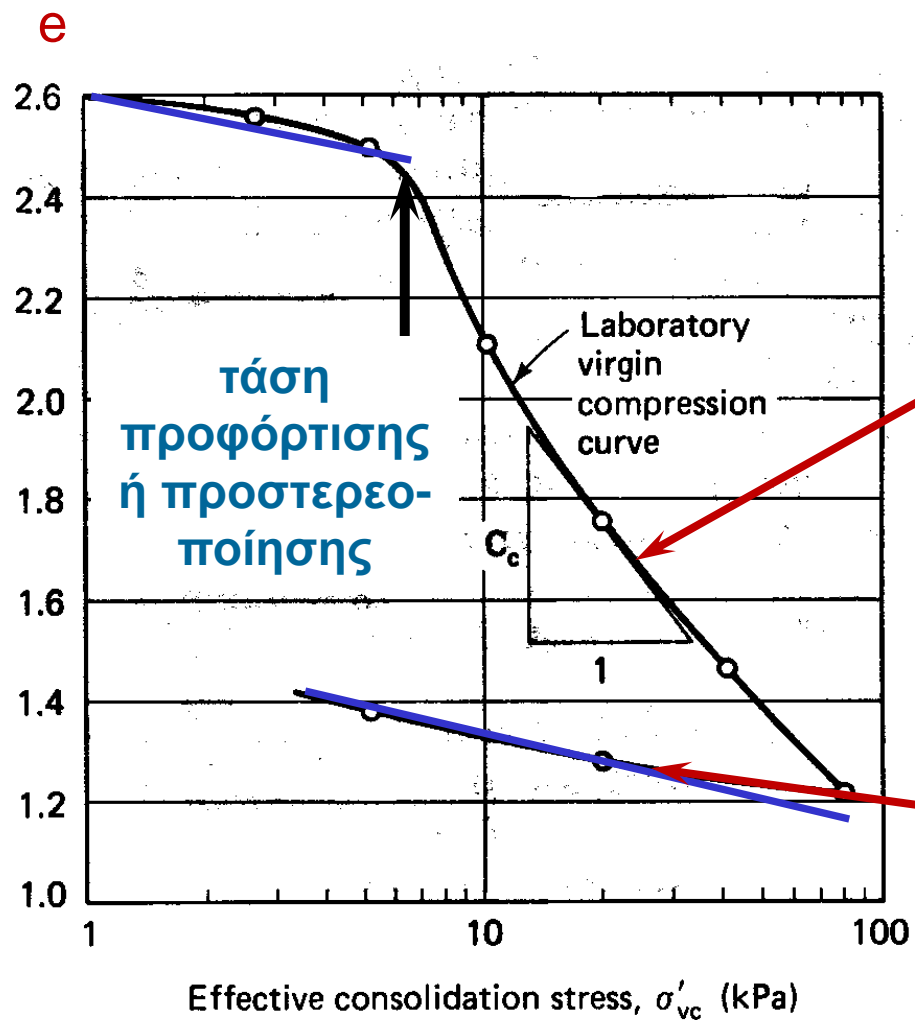
# Υπολογισμός καθίζησεων από καμπύλη παραμορφώσεων

$$\Delta H = H_o \frac{\Delta e^*}{1 + e_o}$$

Μετρώ Δε από την καμπύλη, αν γράψω  $\Delta e = e_{\text{τελικό}} - e_o$ , καθίζηση  $s = -\Delta H$ , αν γράψω  $\Delta e = e_o - e_{\text{τελικό}}$ , καθίζηση  $s = \Delta H$



# Υπολογισμός καθιζήσεων χρησιμοποιώντας τις κλίσεις των κλάδων της καμπύλης συμπίεσης, $C_c$ , $C_r$



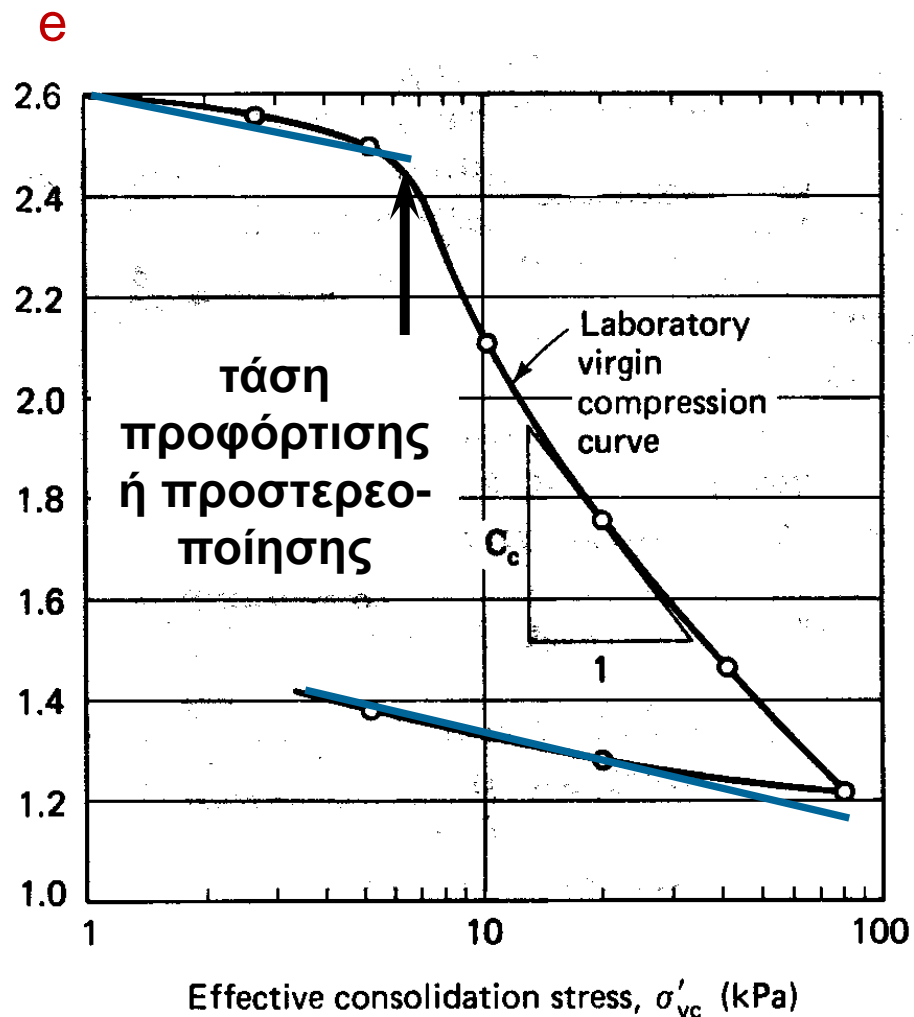
**Δείκτης συμπιεστότητας =**  
Συντελεστής στερεοποίησης κατά την κανονική φόρτιση:

$$C_c = \frac{e_o - e}{\log(\sigma'_v / \sigma'_{vo})}$$

**Δείκτης επαναφόρτισης =**  
Συντελεστής στερεοποίησης κατά την αποφόρτιση και επαναφόρτιση:

$$C_r = \frac{e_o - e}{\log(\sigma'_v / \sigma'_{vo})}$$

# Υπολογισμός καθίζησεων χρησιμοποιώντας τις κλίσεις των κλάδων της καμπύλης συμπίεσης, $C_c$ , $C_r$ (συνέχεια)



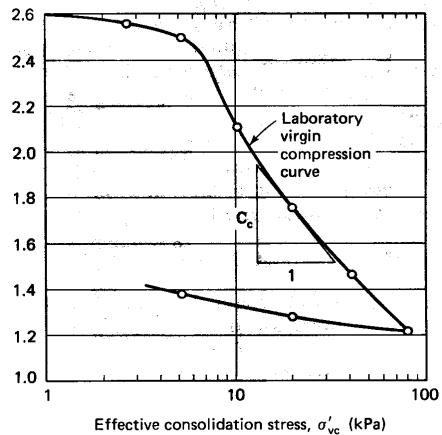
Η καθίζηση  $S$  υπολογίζεται πάλι από την σχέση:

$$S = \Delta H = \frac{H_o}{1 + e_o} \Delta e$$

αλλά η αλλαγή του δείκτη πόρων  $\Delta e$  υπολογίζεται με τους δείκτες  $C_c$ ,  $C_r$

# Υπολογισμός καθιζήσεων, τύποι 1/4

- **Άργιλος NC:** συμπιέζεται στον κύριο κλάδο φόρτισης



$$S = \Delta H = \frac{H_o}{1 + e_o} \Delta e$$

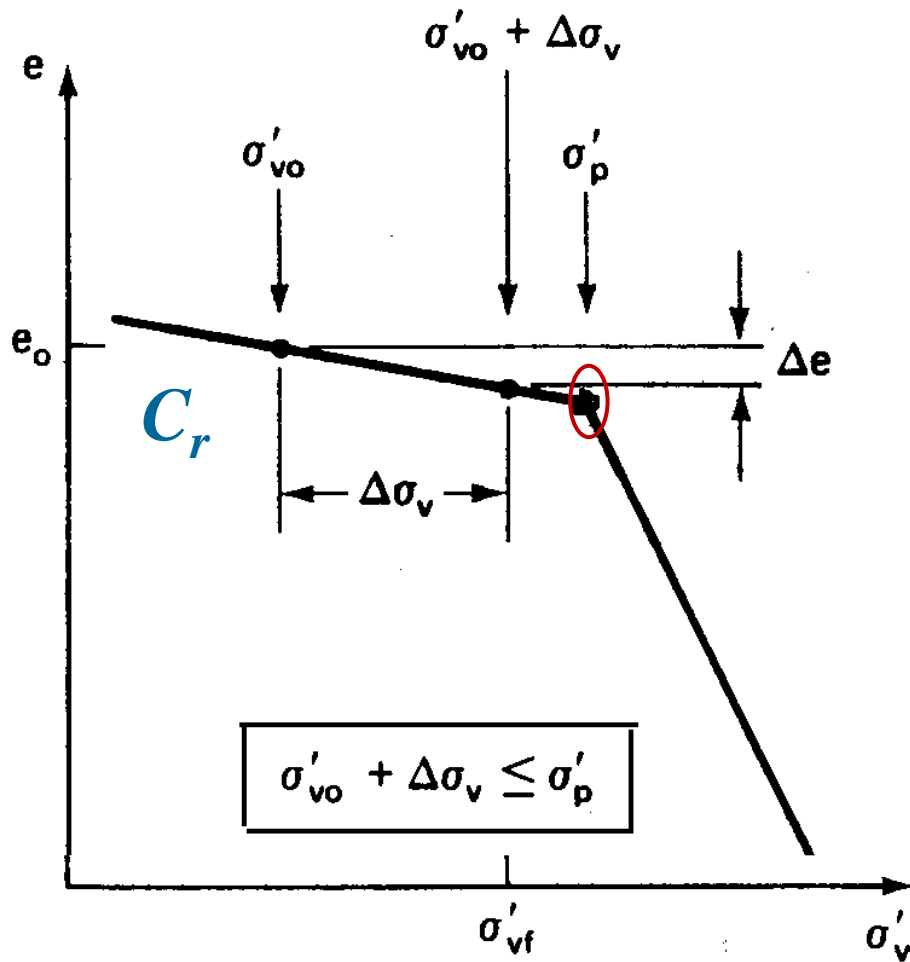
$$\Delta e = C_c \log \left( \frac{\sigma'_{vo} + \Delta \sigma'_{v}}{\sigma'_{vo}} \right)$$

τελική ενεργός  
τάση στο μέσον  
του στρώματος

- $H_o$  = αρχικό ύψος αργιλικού στρώματος
- $e_o$  = αρχικός δείκτης πόρων αργιλικού στρώματος
- $\sigma'_{vo}$  = αρχική ενεργός τάση στο μέσον του αργιλικού στρώματος
- $\Delta \sigma'_{v}$  = μεταβολή κατακόρυφης ενεργού τάσης στο μέσον του αργιλικού στρώματος

## Υπολογισμός καθιζήσεων, τύποι 2/4

- **Άργιλος ΟC:** συμπιέζεται ως τελική ενεργό τάση  $\sigma'_p$



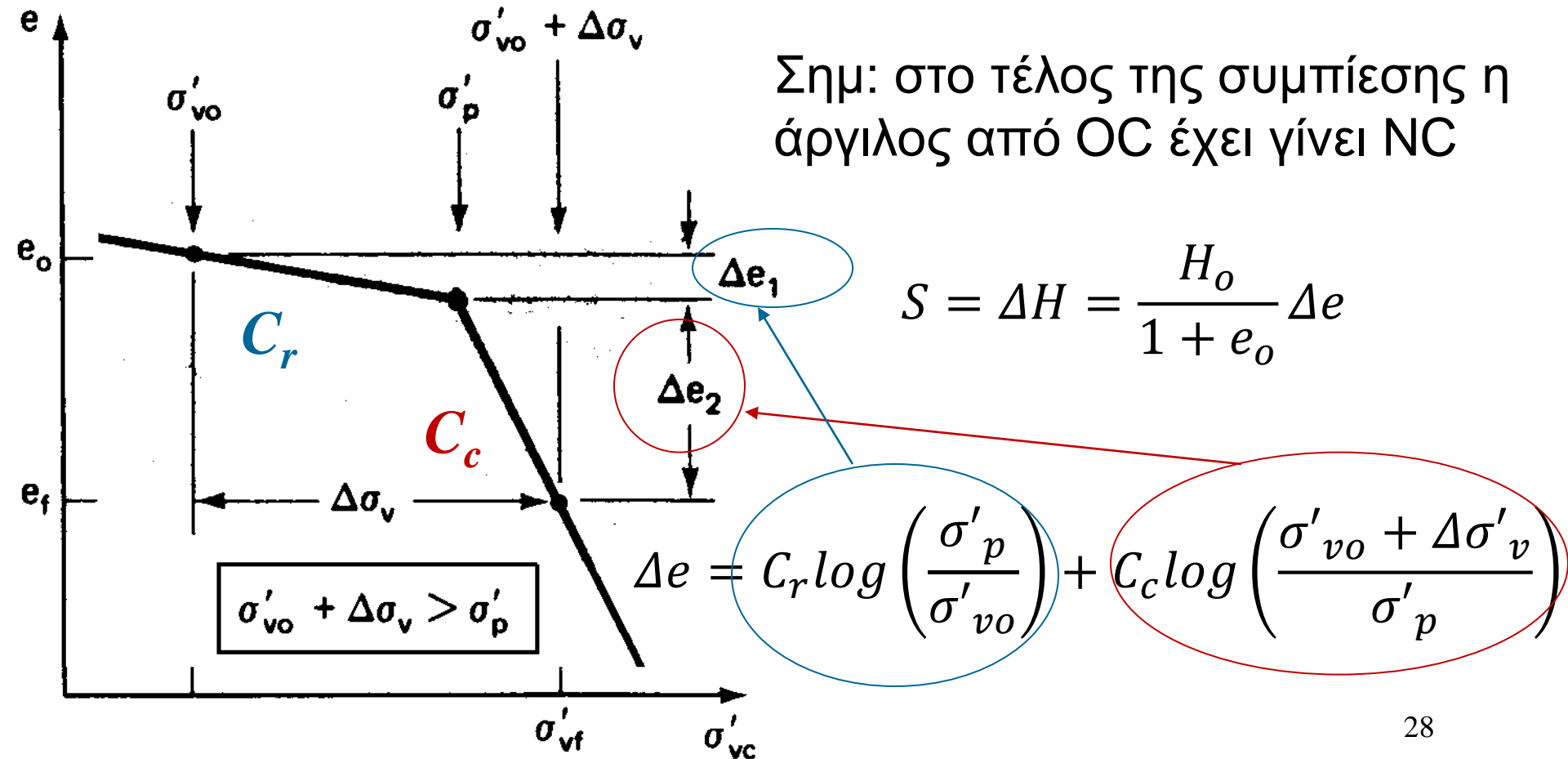
Σημ: στο τέλος της συμπίεσης η άργιλος παραμένει ΟC

$$S = \Delta H = \frac{H_o}{1 + e_o} \Delta e$$

$$\Delta e = C_r \log \left( \frac{\sigma'_{vo} + \Delta\sigma'_v}{\sigma'_{vo}} \right)$$

# Υπολογισμός καθιζήσεων, τύποι 3/4

- **Άργιλος ΟC:** συμπιέζεται ως τελική ενεργό τάση  $> \sigma'_p$



## Υπολογισμός καθιζήσεων, τύποι 4/4

- **Αποφόρτιση** από αρχική κατάσταση  $H_{o^*}$ ,  $e_{o^*}$  - η υπολογιζόμενη παραμόρφωση αντιστοιχεί σε ανύψωση

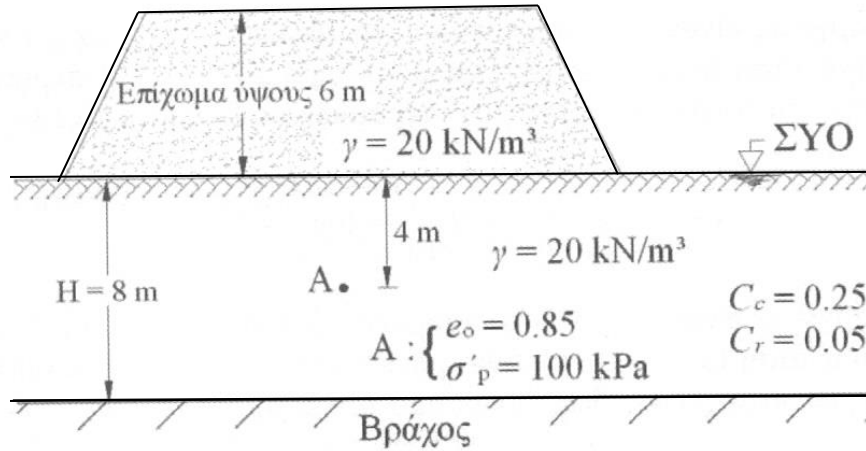
$$\Delta H = H_{o^*} \frac{\Delta e}{1 + e_{o^*}}$$

$$\Delta e = C_r \log \left( \frac{\sigma'_{\tau \varepsilon \lambda \kappa \eta}}{\sigma'_{\alpha \rho \chi \iota \kappa \eta}} \right)$$

- **Επαναφόρτιση** – σαν áργιλος ΟC

# Εφαρμογή (Καββαδάς, Κεφ. 6, σελ. 168)

Εκτίμηση της καθίζησης εδαφικού στρώματος πάχους ( $H$ ) λόγω αύξησης της κατακόρυφης ενεργού τάσης από  $\sigma'_{vo}$  σε  $\sigma'_{vo} + \Delta\sigma'$



Επίχωμα μεγάλου εύρους και ύψους 6m (υλικό επιχώματος  $\gamma=20 \text{ kN/m}^3$ ) κατασκευάζεται σε κορεσμένη αργιλική στρώση πάχους  $H = 8\text{m}$  (Στάθμη Υδροφόρου Ορίζοντα στην επιφάνεια του εδάφους). Η άργιλος έχει τα εξής χαρακτηριστικά:  
Ειδικό βάρος:  $\gamma = 20 \text{ kN/m}^3$

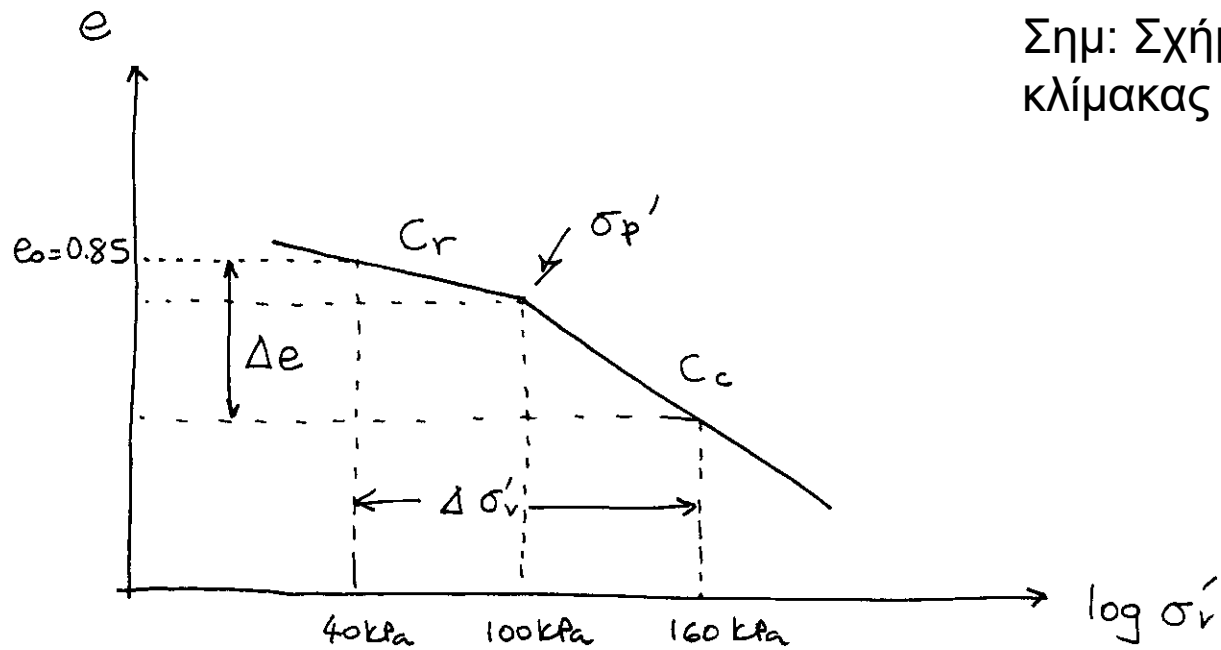
Δείκτης συμπιεστότητας:  $C_c = 0.25$ , Δείκτης επαναφόρτισης:  $C_r = 0.05$

Για το σημείο A (στο μέσον της αργιλικής στρώσης):

Αρχικός δείκτης πόρων:  $e_o = 0.85$ , Τάση προστερεοποίησης:  $\sigma'_p = 100 \text{ kPa}$

Ζητείται η καθίζηση της αργίλου λόγω της κατασκευής του επιχώματος.

## Εφαρμογή – απάντηση



Σημ: Σχήμα εκτός κλίμακας

Για  $\Delta \sigma'_v = 120\text{kPa}$ , βρίσκω  $\Delta e = 0.071$  και καθίζηση  $0.307\text{m}$

# Αν ήταν να επιλέξουμε δύο σημαντικά πράγματα που μάθαμε στην Ενότητα της 1D Συμπίεσης

- Τις παραμορφώσεις (καθιζήσεις) δεν τις υπολογίζουμε από σχέσεις ελαστικότητας αλλά με τη βοήθεια παραμέτρων από κατάλληλες εδαφικές δοκιμές
- Αρκετές άργιλοι έχουν την τάση να συμπιέζονται πολύ. Καταλαβαίνουμε ποιοτικά γιατί αργεί να ολοκληρωθεί η συμπίεση των κορεσμένων αργίλων – στην Εδαφομηχανική II θα μάθουμε να υπολογίζουμε τον χρόνο που απαιτείται να ολοκληρωθεί η συμπίεση.

## Πηγές υλικού διαφανειών

- Παρουσιάσεις Μ. Καββαδά, Γ. Μπουκοβάλα
- Σχήματα στις διαφάνειες 5, 12, 16-22: Lambe T.W. and R.V. Whitman, 1969, Soil Mechanics, Wiley.